

ORCID: 0000-0001-8559 -0377

**Т.Д.Внукова**  
Ведущий инженер,  
Институт металлофизики им. Г.В. Курдюмова НАН Украины, Киев , Украина  
[shmatko@imp.kiev.ua](mailto:shmatko@imp.kiev.ua)

ORCID: 0000-0001-661- 6815

**Ю.О.Вронська**  
инженер 1 категории,  
Институт металлофизики им. Г.В. Курдюмова НАН Украины, Киев , Украина  
[Vronska@ukr.net](mailto:Vronska@ukr.net)

ORCID: 0000-0001-627-4040

**Н. В. Зайцева**  
кандидат техн. наук, старший научный сотрудник,  
отдел физики атомных транспортных процессов,  
Институт металлофизики им. Г.В. Курдюмова НАН Украины, Киев , Украина  
[zaitseva@imp.kiev.ua](mailto:zaitseva@imp.kiev.ua)

ORCID: 0000-0002-3087-2622

**С. М. Захаров**  
кандидат физ.-мат. наук, старший научный сотрудник,  
отдел физики атомных транспортных процессов,  
Институт металлофизики им. Г.В. Курдюмова НАН Украины, Киев , Украина  
[zakharov@imp.kiev.ua](mailto:zakharov@imp.kiev.ua)

ORCID: 0000-0001-7015-1662

**Ю. А. Ляшенко**  
доктор физ.-мат. наук, доцент,  
директор учебно-научного института информационных и образовательных технологий,  
Черкасский национальный университет имени Богдана Хмельницкого, Черкассы, Украина,  
[urico@ukr.net](mailto:urico@ukr.net)

ORCID: 0000-0002-5752-4417

**И. О. Шматко**  
кандидат техн. наук, старший научный сотрудник,  
отдел физики атомных транспортных процессов,  
Институт металлофизики им. Г.В. Курдюмова НАН Украины, Киев , Украина  
[igorshmatko989@gmail.com](mailto:igorshmatko989@gmail.com)

УДК 539.232+544.023.26+544.344.9  
DOI: 10.31651/2076-5851-2018-1-29-37

PACS 61.10.Nz, 81.65.Mq, 61.72.S–,  
81.40.Gh, 81.40.Np

## **ВЛИЯНИЕ ЛЕГИРОВАНИЯ ЖЕЛЕЗОМ СПЛАВОВ НИКЕЛЬ – МОЛИБДЕН НА ПАРАМЕТРЫ ИХ ОКИСЛЕНИЯ**

Экспериментально исследовано влияние легирования железом на скорость окисления и жаростойкость сплавов Ni-Mo в зависимости от концентрации железа. Методами термогравиметрии и рентгенодифракционного анализа показано, что эффект влияния добавок до 20 мас. % железа на сопротивление окисляемости сплавов никель-молибден не носит прямой зависимости от количества лигатуры. Установлено, что 5% добавка железа обеспечивает максимальную жаростойкость Ni-Mo сплавов. Определено, что эффективному повышению сопротивляемости окислению сплавов никель-молибден способствуют добавки

*железа в количествах до 15 мас. %. Добавка больше 15 мас. % железа приводит к отрицательному влиянию на жаростойкость Ni-Mo сплавов. Анализ проведен с учетом конкуренции образования оксидов MoO<sub>2</sub>, NiO и Fe<sub>2</sub>O<sub>3</sub> в поверхностных слоях сплавов.*

**Ключевые слова:** Ni-Mo сплав, Fe легирование, образование оксидов металлов, жаростойкость сплавов, термогравиметрия, рентгенодифракционный анализ.

## 1. Введение

Сплавы на никель-молибденовой основе с добавками железа, хрома, вольфрама широко применяются в промышленности в качестве жаропрочных и жаростойких материалов [1, 2]. Жаростойкость бинарных сплавов Ni –Mo, содержащих до 15% Mo, была исследована [3] в интервале температур 1073-1473 К. Показано, что добавки Mo понижают стойкость никеля к окислению. В [4] установлено, что только при содержании около 30 % массы Mo жаростойкость сплава превышает эту характеристику для чистого никеля. Известно также [5, 6], что добавки железа до 10% способствуют повышению окалиностойкости никель-молибденовых сплавов.

Целью работы есть экспериментальное исследование влияния различных концентраций железа на сопротивление окислению сплавов Ni-Mo, построение кинетических кривых окисления пяти сплавов различного концентрационного состава. Экспериментальные исследования опытных образцов проведены методами термогравиметрии и рентгенодифракционного анализа.

## 2. Исследование окисления сплавов Ni-Mo с замещающими добавками Fe

### Материалы и методика эксперимента

В настоящей работе исследовано влияние частичной замены никеля железом на окисление сплава никель-30%молибдена. Составы исследованных сплавов на основе никеля приведены в Таблице 1.

Таблица 1  
Составы исследованных сплавов на основе никеля.

Сплав	Содержание элемента, % масс.	
	Mo	Fe
1 НМ	28	0
2 НМ	30	5
3 НМ	30	10
4 НМ	30	15
5 НМ	30	20

Кинетика окисления указанных сплавов исследована методом термогравиметрии на приборе «Derivatograph MOM» [7] в интервале температур 1073-1473 К.

Рентгенографическое исследование окислов, обнаруженных на исследованных сплавах, проведено на дифрактометре ДРОН-1 с Fe-K<sub>α</sub> излучением.

### 3. Результаты и их обсуждение

В результате анализа изменения массы образцов сплавов 1 НМ-4 НМ от времени окисления установлено, что процесс окисления сплава 1 НМ в интервале температур 1323-1473 К подчиняется закону квадратичной параболы. Этот результат коррелирует с данными [4]. Добавки железа изменяют закономерность окисления сплавов никель-молибден. Окисление сплавов 2-4 в интервале 1223-1473 К уже описывается степенным законом:

$$\left( \frac{\Delta m}{S} \right)^n = K\tau, \quad (1)$$

где  $n=2,5$ ,  $\tau$  - время окисления,  $\Delta m$  - изменение массы образца при окислении,  $S$  - площадь образца,  $K$  - константа окисления.

Зависимости изменения массы образцов сплавов 1 НМ-4 НМ от времени окисления, представленные в двойных логарифмических координатах, носят линейный характер.

Типичные зависимости  $\lg \frac{\Delta m}{S}$  -  $\lg \tau$  для температуры 1423 К приведены на Рис.1. Из указанных зависимостей для исследованного интервала температур определены константы окисления сплавов 1-4 (см. Табл. 2).

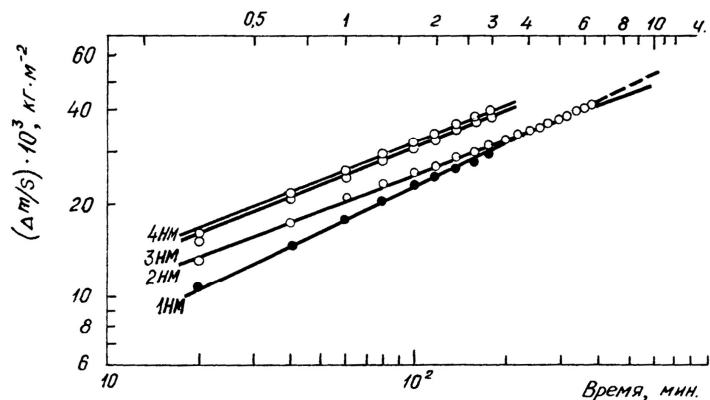


Рис. 1. Зависимости изменения массы сплавов 1 НМ – 4 НМ от времени окисления при 1423 К.

Fig. 1. Dependences of mass change of 1 HM – 4 HM alloys on time of oxidization at 1423 K.

Таблица 2

Значения констант окисления для сплавов 1-4 в интервале температур 1223-1473 К.

Сплав →\T, K↓	$K \cdot 10^8$			
	$\text{кг}^{2,5} \cdot \text{м}^{-5} \cdot \text{с}^{-1}$			
	1 НМ	2 НМ	3 НМ	4 НМ
1223	-	0.11	-	-
1273	-	0.28	0.18	0.26
1323	1.05	0.56*	0.74	0.93*
1373	1.66	-	1.11	-
1423	3.64	1.66	2.35	3.32
1473	7.27	2.49	5.27	5.91

\*- при 1333 К.

По данным таблицы 2 построены зависимости  $K$  для исследованных сплавов от температуры  $T$ , представленные на рис. 2. Легко заметить, что данные зависимости могут быть описаны уравнением:

$$K = K_0 \exp\left(-\frac{E}{RT}\right) \quad (2)$$

где  $K_0$  - предэкспоненциальный множитель, а  $E$  - температурный коэффициент скорости процесса окисления. Значения  $K_0$  и  $E$ , определенные из этих зависимостей по методу наименьших квадратов, приведены в Таблице 3. Там же приведены коэффициенты корреляции ( $r$ ) зависимости (2) с экспериментальными данными.

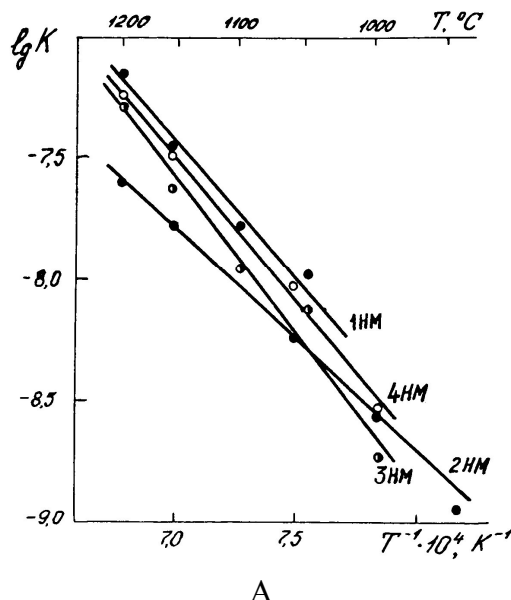


Рис. 2. Температурные зависимости постоянной скорости окисления сплавов 1НМ 4НМ.  
Fig. 2. Temperature dependences of constant-speed of oxidization of alloys 1HM 4HM.

Таблица 3

Значения предэкспоненциального множителя  $K_0$ , температурного коэффициента скорости окисления  $E$  и коэффициента корреляции линейной зависимости  $\lg K = f(T^{-1})$ .

Сплав	$K_0$	$E$ , кДж/моль	$R$
1 НМ	2,51	213	0,992
2 НМ	0,10	185	0,997
3 НМ	28,18	246	0,987
4 НМ	24,55	240	0,997

Кинетика окисления сплава 5 НМ при 1223 К описывается тем же степенным законом, как и других сплавов с добавками железа. Для этого сплава  $K = 0,94 \cdot 10^{-8} \text{ кг}^{2,5} \text{ м}^{-5} \text{ с}^{-1}$  при 1223 К. Однако в интервале 1073-1173 К процесс окисления сплавов 2 НМ-5 НМ протекает довольно неравномерно. На начальной стадии окисление идет с высокой скоростью, затем устанавливается постоянная скорость окисления. Через некоторое время наблюдается новый участок повышенной скорости окисления, после чего вновь регистрируется участок с более низкой постоянной скоростью окисления. Изменения скорости прироста массы образцов периодически повторяются во время окисления.

Сложные кинетические кривые окисления сплавов 2 НМ-5 НМ в указанном интервале температур не спрямляются в координатах  $\lg \frac{\Delta m}{S} - \lg \tau$ , в связи с чем математическое описание их затруднено.

При окислении сплава 5 НМ выше 1223 К кинетические кривые также имеют довольно сложный вид. Типичная кривая окисления сплава 5 НМ представлена на рис. 3. На данной кривой приблизительно после  $1,2 \cdot 10^3$  с окисления наблюдается пик, связанный с резким возрастанием массы образца и последующим её уменьшением. Дальнейшее увеличение массы образца идет более плавно и после  $7,2 \cdot 10^3$  с окисления опять происходит падение ее величины. Такой ход зависимости  $\Delta m$  от времени окисления также трудно описать каким-либо одним из известных законов.

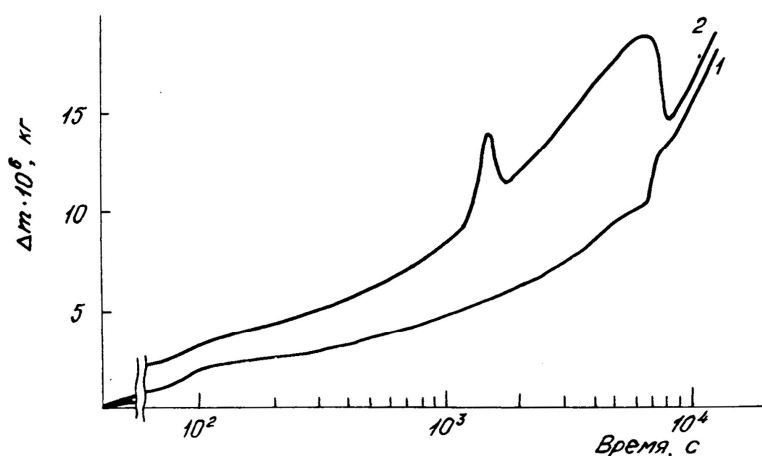


Рис. 3. Кинетические кривые окисления сплава 5 НМ при 1173 К – 1 и 1473 К – 2.

Fig. 3. Kinetic curves of oxidization of alloy 5 HM at 1173 K – 1 and 1473 K – 2.

Было установлено, что при взаимодействии исследованных сплавов с кислородом их поверхность покрывается слоем темно-серой окалины. Охлаждение сплавов сопровождается откалыванием окалины. В сплавах 1 НМ и 2 НМ окалина отстает от поверхности ровными слоями, сохраняющими форму образца. С повышением содержания железа в образце окалина отделяется фрагментами, дисперсность которых растет с концентрацией железа в сплаве. Под отковавшимся слоем наблюдается, по крайней мере, два рыхлых подслоя черного цвета.

Как верхний слой окалины, так и нижний, обладают ярко-выраженными ферромагнитными свойствами. При этом они проявляются значительно сильнее в сплавах с большим содержанием железа. В сплаве I окалина неферромагнитна.

На дифрактограммах отделившихся окислов, оставшихся на поверхности образцов и поверхности образцов, очищенных от окислов, наблюдаются рефлексы целого ряда соединений:  $\text{NiO}$ ,  $\text{Fe}_2\text{O}_3$ ,  $\text{FeMoO}_3$ ,  $\text{MoO}_2$ . Кроме того, по наличию некоторых рефлексов, не совпадающих с рефлексами других окислов, можно предположить присутствие в окисных слоях таких окислов, как  $\text{Mo}_4\text{O}_{11}$ ,  $\text{Mo}_8\text{O}_{23}$ ,  $\text{Mo}_9\text{O}_{26}$ , которые, как известно, образуются при повышенных температурах [8].

Интересно отметить, что привесы на единицу площади образца для сплавов, содержащих железо до 15%, в течение 1200 с. окисления выше, чем привесы на единицу площади для сплава 1 НМ (см. рис.1). Однако, после 2400 с окисления привесы на единицу площади для железосодержащих сплавов уже меньше, чем у сплава без железа. Это связано с тем, что закон окисления сплавов, содержащих железо, имеет показатель 2,5, тогда как сплав без железа окисляется по закону квадратичной параболы.

Благоприятное влияние добавок железа на жаростойкость сплавов Ni – Mo связано с участием железа в реакции:



Данная реакция препятствует накоплению рыхлого подслоя  $\text{NiMoO}_4$  и способствует формированию защитного окисного слоя  $\text{NiO}$ , обеспечивающего повышенную жаростойкость исследованных сплавов.

Рентгеновские исследования также показали, что с повышением содержания железа в сплаве изменяется соотношение количества окислов  $\text{NiO}$  и  $\text{Fe}_2\text{O}_3$  в пользу последнего.

По-видимому, соотношением количества этих окислов и наличием других окислов на поверхности исследованных сплавов определяются аномалии кинетики окисления сплавов 2 НМ-5 НМ в интервале 1073 – 1173 К, а также сплава 5 НМ выше 1223 К.

Наличие участков резкого возрастания скорости прироста массы образцов сплавов 2 НМ-5 НМ в интервале 1073 – 1173 К (рис.3) следует объяснить понижением скорости протекания реакции (3). Накопление рыхлого окисла  $\text{NiMoO}_4$  обусловливает периодическое разрушение верхней защитной окисной пленки; вследствие чего наблюдается временное ускорение окисления исследованных сплавов.

Аномалии в окислении сплава 5 НМ выше 1223 К (рис.3) обусловлены двумя факторами. С повышением температуры возрастает скорость образования летучего окисла молибдена  $\text{MoO}_3$  по схеме:



Большое количество железа приводит к существенному понижению количества  $\text{NiO}$ , обладающего защитными свойствами [9]. В результате снижается прочность защитного окисного слоя, который прорывается избыtkом  $\text{MoO}_3$ . В момент прорыва пленки проявляется рост массы образца, связанный с интенсификацией окисления. Улетучивание  $\text{MoO}_3$  ведет к снижению прочности. На холодных деталях прибора Derivatograph были обнаружены полупрозрачные игольчатые кристаллы соединения, идентифицированного рентгеновским способом как  $\text{MoO}_3$ . В работе [9], где исследовано окисление соединения  $\text{Ni}_4\text{Mo}$ , показано, что под слоем  $\text{NiO}$  вследствие реакции  $\text{MoO}_2$  с кислородом образуется  $\text{MoO}_3$ , который, реагируя с закисью никеля  $\text{NiO}$ , образует молибдат никеля  $\text{NiMoO}_4$ :



Авторы [4, 5] синтезировали  $\text{NiMoO}_4$ , путем нагревания смеси  $\text{MoO}_3$ , и  $\text{NiO}$  выше 823 К. Необходимо заметить, однако, что в настоящей работе подслои  $\text{NiMoO}_4$  не обнаружены в сплавах, содержащих железо. Это подтверждает данные работы [9], где в сплавах с добавками железа также не был обнаружен  $\text{NiMoO}_4$ . Вероятнее всего  $\text{NiMoO}_4$ , в нашем случае, является промежуточным продуктом, который вступая в реакцию (3) с железом, образует соединение  $\text{FeMoO}_3$ .

#### 4. Выводы

Можно сделать вывод, что окисление никель-молибденовых сплавов с добавками железа протекает по следующей схеме. Вследствие более высокого сродства Mo к кислороду, чем у других компонентов сплавов [10], на начальных стадиях на поверхности сплава происходит в основном образование окислов Mo (главным образом  $\text{MoO}_2$ ). В результате этого формируется подслой твердого раствора железа в никеле, практически свободный от молибдена. Дальнейшее взаимодействие с атмосферой приводит к окислению Ni и Fe с образованием  $\text{NiO}$  и  $\text{Fe}_2\text{O}_3$ .  $\text{MoO}_2$  также окисляется до  $\text{MoO}_3$ . Затем идет реакция (5), продукт которой ( $\text{NiMoO}_4$ ) участвует в реакции (3).

Легирование железом сплавов Ni-Mo оказывает различное влияние на их жаростойкость в зависимости от величины добавки железа. Оптимальной добавкой, обеспечивающей максимальную жаростойкость, оказывается 5% железа (табл. 2). Однако, скорость окисления

сплавов, содержащих до 15 % железа, остается ниже, чем двойного сплава. Добавка 20% железа дает уже отрицательный эффект.

Как указывалось выше, это связано с тем, что железо, активно участвуя в реакции (3), способствует восстановлению защитного слоя NiO, разрушающегося в результате реакции (5). Когда же добавка железа превышает 15 %, заметно возрастает количество окисла  $Fe_2O_3$  по сравнению с количеством окисла NiO. В результате скорость реакций (3) и (5) существенно снижается.

Следовательно, с целью повышения жаростойкости двойных сплавов Ni-Mo целесообразно их легирование добавками железа в количествах до 15 %.

#### **Список использованной литературы:**

1. Gleeson B. High-temperature corrosion of metallic alloys and coatings / B. Gleeson // Materials Science and Technology. – 2013. – Vol. 1. – P. 173–228. – DOI: [10.1002/9783527603978. mst0407](https://doi.org/10.1002/9783527603978.mst0407)
2. Химушин Ф. Ф. Жаропрочные стали и сплавы / Ф. Ф. Химущин. –М. : Металлургия, 1969. –749с.
3. Preece A. The high temperature oxidation of some cobalt-base alloys / A. Preece, G. Lucas // J. Inst. Metalls. – 1952–1953. Vol. 81, № 4. – P. 219–227.
4. Brenner S. S. Oxidation of iron-molybdenum and nickel-molybdenum alloys / S. S. Brenner // J. Electrochem. Soc. –1995. – Vol. 102, №1.– P.7–15. – DOI: 10.1149/1.2429990
5. Лашко Н. Ф. Особенности окисления никелевых жаропрочных сплавов, содержащих молибден / Н. Ф. Лашко, Г. М. Глезер // Защита металлов. – 1972. – Т. 8, №6. – С. 654–659.
6. Гончаров О. Ю. Оценка состава окалины на железо-молибденовых сплавах / О. Ю. Гончаров, Ф. З. Гильмутдинов // Физика и химия обработки материалов. – 2010. – Т. 3. – С. 74–78. – Режим доступу : <https://elibrary.ru/item.asp?id=14804562>
7. Лариков Л. Н. Жаростойкость сплавов системы кобальт-вольфрам / Л. Н. Лариков, В. Ф. Мазанко, В. В. Омельяненко, В. М. Тышкевич, О. А. Шматко // Защита металлов. –1975. – Т.12, №6. – С. 710–713.
8. Smith J. V. Fink Inorganic Index to the 'Powder Diffraction File'(1966) / American Society for Testing and Materials, J. V. Smith, W. L. Fink. – American Society for Testing and Materials.
9. Ruedl E. Structural study of alloys  $Ni_4Mo$  oxidized at high temperatures / E. Ruedl, T. Sasaki, A. A. Pizzini // J. de Microscopie et de Spectroscopie Electroniques. – 1977. – Vol. 2, № 6. – P. 537–551.
10. Бенар Ж. Окисление металлов. Теоретические основы / Ж. Бенар. – М.: Металлургия, 1968. – 499 с.

#### **References**

1. Gleeson B. (2006). High temperature corrosion of metallic alloys and coatings. *Materials science and technology*, 1, 173–228. DOI: [10.1002/9783527603978. mst0407](https://doi.org/10.1002/9783527603978.mst0407)
2. Khimushin F. F. (1969). *Heat resistant steels and alloys*. Moscow: Metallurgiya (in Russ.)
3. Preece A., & Lucas, G. (1952). The high-temperature oxidation of some cobalt-base and nickel-base alloys. *Journal of the Institute of Metals*, 81(4), 219.
4. Brenner S. S. (1955). Oxidation of iron molybdenum and nickel-molybdenum alloys. *Journal of The Electrochemical Society*, 102(1), 7-15. DOI: 10.1149/1.2429990
5. Lashko N. F., Glezer G. M. (1972). Features of the oxidation of nickel superalloys containing molybdenum. *Zashchita metallov*. (in Russ.), 8(6), 654–659.
6. Goncharov O. Yu., Gil'mutdinov F. Z. (2010). Evaluation of the composition of scale on iron-molybdenum alloys. *Fizika i khimiya obrabotki materialov*. (in Russ.), 3, 74–78. Retrieved from: <https://elibrary.ru/item.asp?id=14804562>
7. Larikov L. N., Mazanko V. F., Omel'yanenko V. V., Tyshkevich V. M., Shmatko O. A. (1975). Heat resistance of alloys of cobalt-tungsten system. *Zashchita metallov*. (in Russ.), 12(6), 710–

- 713.
8. American Society for Testing and Materials, Smith, J. V., & Fink, W. L. (1966). *Fink Inorganic Index to the Powder Diffraction File*(1966). American Society for Testing and Materials.
9. Ruedl, E., Sasaki, T., Pizzini, S. (1977). Structural Study of the Alloy Ni 4 Mo Oxidized at High Temperatures. *J. Microsc. Spectrosc. Electron.* (France), 2(6), 537-551.
10. Benard J. (1968). *Oxidation of metals. Theoretical basis*. Moscow: Metallurgiya (in Russ.)

**T. D. Vnukova**

Lead Engineer,

G. V. Kurdyumov Institute for Metal Physics of the N.A.S. of Ukraine, Kyiv, Ukraine

[shmatko@imp.kiev.ua](mailto:shmatko@imp.kiev.ua)

**Ju. A. Vronskaja**

first category engineer,

G. V. Kurdyumov Institute for Metal Physics of the N.A.S. of Ukraine, Kyiv, Ukraine

[Vronska@ukr.net](mailto:Vronska@ukr.net)

**N. V. Zaytseva**

Candidate of Technical Sciences, Senior Researcher,

Department of Physics of Atomic Transport Processes

G. V. Kurdyumov Institute for Metal Physics of the N.A.S. of Ukraine, Kyiv, Ukraine

[zaitseva@imp.kiev.ua](mailto:zaitseva@imp.kiev.ua)

**S. M. Zakharov**

Candidate of Physical and Mathematical Sciences, Senior Researcher,

Department of Physics of Atomic Transport Processes G. V. Kurdyumov Institute for Metal

Physics of the N.A.S. of Ukraine, Kyiv, Ukraine

[zakharov@imp.kiev.ua](mailto:zakharov@imp.kiev.ua)

**Yu. O. Lyashenko**

Doctor of physical and mathematical sciences, Associate Professor,

Director of Educational and Scientific Institute of Information and Educational Technologies,

The Bohdan Khmelnytsky National University of Cherkasy, Cherkasy, Ukraine,

[urico@ukr.net](mailto:urico@ukr.net)

**I. O. Shmatko**

Candidate of Technical Sciences, Senior Researcher,

Department of Physics of Atomic Transport Processes G. V. Kurdyumov Institute for Metal

Physics of the N.A.S. of Ukraine, Kyiv, Ukraine

[igorshmatko989@gmail.com](mailto:igorshmatko989@gmail.com)

## **INFLUENCE OF A DOPING BY IRON OF NICKEL - MOLYBDENIUM ALLOYS ON PARAMETRES OF THEIR OXIDIZING**

**Summary.** *Influence of alloying by iron on rate of oxidization and heat-resistance of Ni- Mo alloys depending on the concentration of iron has been experimentally investigated.*

*On the diffractograms of detached oxides, oxides that remained on the surface and surfaces of samples that were cleaned from oxides are observed reflexes of a number of oxides: NiO, Fe<sub>2</sub>O<sub>3</sub>, FeMoO<sub>3</sub>, MoO<sub>2</sub>. The X-rayed researches showed that with the increase of iron concentration in the alloy the amount of NiO and Fe<sub>2</sub>O<sub>3</sub> oxides changes in favor of the last. Presumably, interrelation of these oxides amounts and presence of other oxides on the surface of investigated alloys determine the anomalies of the alloys oxidization kinetics.*

The presence of areas of a sharp increase in the mass gain rate of samples of Ni-Mo alloys with iron additives in the range of 1073 - 1173 K should be explained by a decrease in the reaction rate of iron with  $\text{NiMoO}_4$ , which leads to the formation of a mixture of  $\text{NiO}$  and  $\text{FeMoO}_3$ . The accumulation of loose  $\text{NiMoO}_4$  oxide stipulates periodic destruction of the overhead protective oxide film, as a result of which a temporary acceleration of the oxidation of the studied alloys is observed.

It is taken into account that the oxidation of Ni-Mo alloys with iron additives flows according to the following scheme. Due to the higher affinity of Mo to oxygen than that of other components of the alloys, mainly  $\text{MoO}_2$  is formed on the alloy surface at the initial stages. As a result, an underlayer of a solid solution of iron in nickel, practically free of molybdenum, is formed. Further interaction with the atmosphere leads to the oxidation of Ni and Fe with the formation of  $\text{NiO}$  and  $\text{Fe}_2\text{O}_3$ .  $\text{MoO}_2$  is also oxidized to  $\text{MoO}_3$ . Then there is the reaction of  $\text{NiO}$  and  $\text{MoO}_3$ , the product of which is  $\text{NiMoO}_4$ . Most likely  $\text{NiMoO}_4$  is an intermediate product, which as a result of reaction with iron forms  $\text{FeMoO}_3$ .

When the addition of iron exceeds 15%, the amount of  $\text{Fe}_2\text{O}_3$  oxide increases visibly compared with the amount of  $\text{NiO}$  oxide. As a result, the rate of reactions leading to the formation of  $\text{FeMoO}_3$  is significantly reduced. Consequently, in order to increase the heat resistance of Ni-Mo double alloys, it is sensible to alloy them with iron in amounts of up to 15%.

Thus, using the methods of thermogravimetry and X-ray diffraction analysis, it was shown that the effect of additives is up to 20 mass % iron on the resistance to oxidation of nickel-molybdenum alloys is not directly dependent on the amount of ligature. It is established that 5% iron additive provides maximum heat resistance of Ni-Mo alloys. It was determined that an effective increase in the resistance to oxidation of nickel-molybdenum alloys is promoted by the addition of iron in amounts up to 15 mass %. Addition of more than 15 mass % leads to a negative effect on the heat resistance of Ni-Mo alloys.

**Keywords:** doping, oxidizing, Ni-Mo alloys, Fe doping, oxide formation, heat resistance, thermogravimetry, XRD analysis.

Одержано редакцією 02.09.2018  
Прийнято до друку 24.12.2018